

Phase Control Thyristor

KP 2400A-7000~8500V

关键参数	Key Parameters
V_{DSM}	7000~8500 V
$I_{T(AV)}$	2400 A
I_{TSM}	40 kA
V_{TO}	1.3 V
r_T	0.4 mW

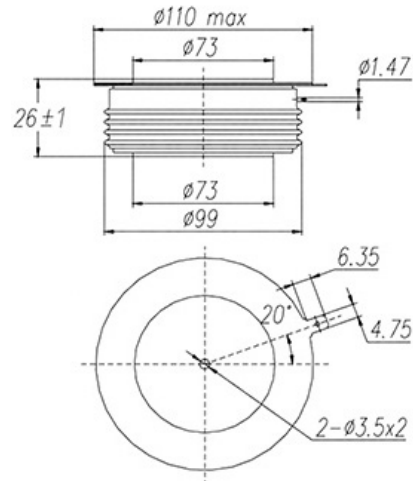
应用	Applications
● 牵引传动	Traction drive
● 电机驱动	Motor drive
● 工业变流器	Industry converter

特点	Features
● 平板压装, 双面冷却	Double-side cooling
● 大功率容量	High power capability
● 低损耗	Low loss

热和机械数据 Thermal & Mechanical Data					
符号	参数名称	最小	典型	最大	单位
R_{thjc}	结壳热阻	-	-	0.01	K/W
R_{thcs}	接触热阻	-	-	0.0008	K/W
T_{vj}	内部等效结温	-40	-	90	°C
T_{stg}	贮存温度	-40	-	140	°C
F	紧固力	-	56	-	kN
m	质量	-	1.44	-	kg

电压额定值		Voltage Ratings
器件型号	断态和反向不重复峰值电压 $V_{DSM}/V_{RSM}(V)$	测试条件
KP 2400-70	7000	$T_{vj} = 25, 90\text{ °C}$
KP 2400-75	7500	$I_{DRM} = I_{RRM} = 700\text{ mA}$
KP 2400-80	8000	门极断路
KP 2400-85	8500	$V_{DM} = V_{DRM}$ $V_{RM} = V_{RRM}$ $t_p = 10\text{ ms}$
		断态重复峰值电压: $V_{DRM} = V_{DSM} - 500$
		反向重复峰值电压: $V_{RRM} = V_{RSM} - 500$

外型图 Outline



电流额定值		Current Ratings				
符号	参数名称	条件	最小	典型	最大	单位
$I_{T(AV)}$	通态平均电流	正弦半波, $T_C = 55\text{ °C}$	-	-	2400	A
$I_{T(RMS)}$	通态方均根电流	$T_C = 55\text{ °C}$	-	-	3768	A
I_{TSM}	通态不重复浪涌电流	$T_{vj} = 90\text{ °C}$, 正弦半波, 底宽10ms, $V_R = 0$	-	-	40.0	kA
I^2t	电流平方时间积	正弦波, 10ms	-	-	800	$10^4 A^2s$

特性值

Characteristics

符号	参数名称	条件	最小	典型	最大	单位
V_{TM}	通态峰值电压	$T_{vj} = 90\text{ }^\circ\text{C}$, $I_{TM} = 1500\text{ A}$	-	-	1.90	V
I_{DRM}	断态重复峰值电流	$T_{vj} = 25\text{ }^\circ\text{C}$, $90\text{ }^\circ\text{C}$, V_{DRM}/V_{RRM} , 门极断路	-	-	700	mA
I_{RRM}	反向重复峰值电流					
V_{TO}	门槛电压	$T_{vj} = 90\text{ }^\circ\text{C}$	-	-	1.3	V
r_T	斜率电阻	$T_{vj} = 90\text{ }^\circ\text{C}$	-	-	0.4	m Ω
I_H	维持电流	$T_{vj} = 25\text{ }^\circ\text{C}$	-	-	200	mA
I_L	擎住电流	$T_{vj} = 25\text{ }^\circ\text{C}$	-	-	1000	mA

动态参数

Dynamic Parameters

符号	参数名称	条件	最小	典型	最大	单位
dv/dt	断态电压临界上升率	$T_{vj} = 90\text{ }^\circ\text{C}$, 门极断路电压线性上升到 $0.67 V_{DRM}$	2000	-	-	V/ μs
di/dt	通态电流临界上升率	$T_{vj} = 90\text{ }^\circ\text{C}$, $V_{DM} = 0.67 V_{DRM}$, $f = 50\text{ Hz}$ $I_{TM} = 3000\text{ A}$, $I_{FG} = 2\text{ A}$, $t_r = 0.5\text{ }\mu\text{s}$	-	-	100	A/ μs
t_q	关断时间	$T_{vj} = 90\text{ }^\circ\text{C}$, $V_{DM} = 0.67 V_{DRM}$, $I_T = 2500\text{ A}$ dv/dt = $20\text{ V}/\mu\text{s}$, $V_R = 200\text{ V}$, -di/dt = $10\text{ A}/\mu\text{s}$	-	1200	-	μs
Q_r	恢复电荷	$T_{vj} = 90\text{ }^\circ\text{C}$, -di/dt = $10\text{ A}/\mu\text{s}$, $I_T = 2500\text{ A}$, $V_R = 200\text{ V}$	-	6500	-	μC

门极特性

Gate Parameters

符号	参数名称	条件	最小	典型	最大	单位
I_{GT}	门极触发电流	$T_{vj} = 25\text{ }^\circ\text{C}$	-	-	400	mA
V_{GT}	门极触发电压	$T_{vj} = 25\text{ }^\circ\text{C}$	-	-	2.6	V
V_{GD}	门极不触发电压	$T_{vj} = 90\text{ }^\circ\text{C}$, $V_D = 0.4V_{DRM}$	0.3	-	-	V
V_{FGM}	门极正向峰值电压		-	-	12	V
V_{RGM}	门极反向峰值电压		-	-	5	V
I_{FGM}	门极正向峰值电流		-	-	4	A
P_{GM}	门极峰值功率		-	-	20	W
$P_{G(AV)}$	门极平均功率		-	-	4	W

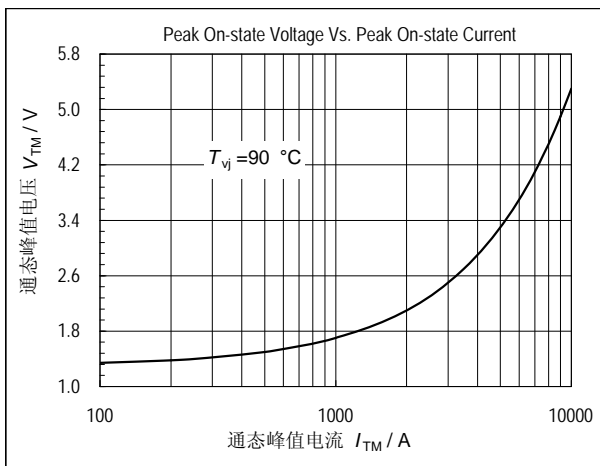


图1. 通态伏安特性曲线

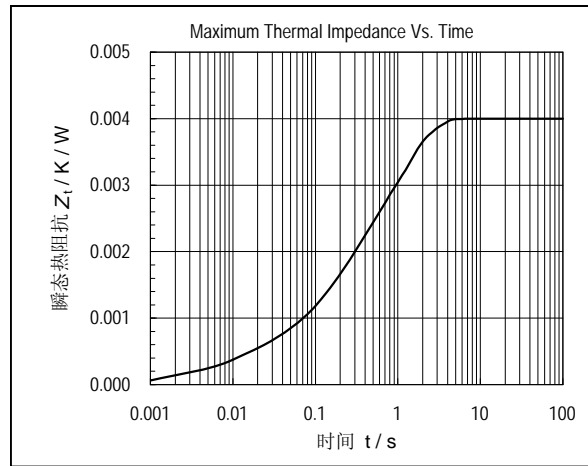


图2. 瞬态热阻抗曲线

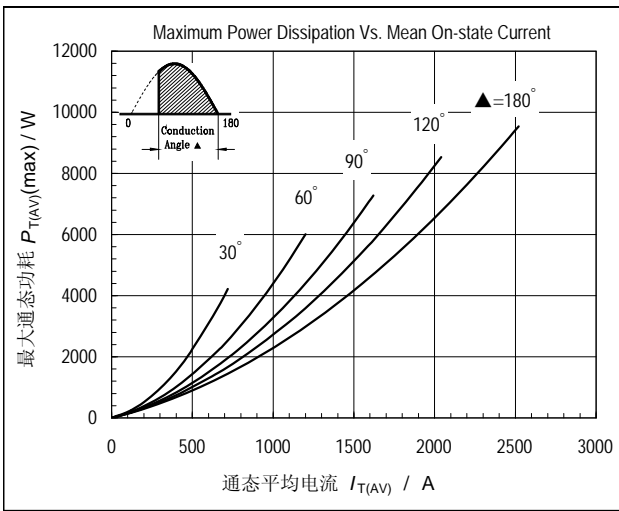


图3. 最大功耗与通态平均电流的关系曲线

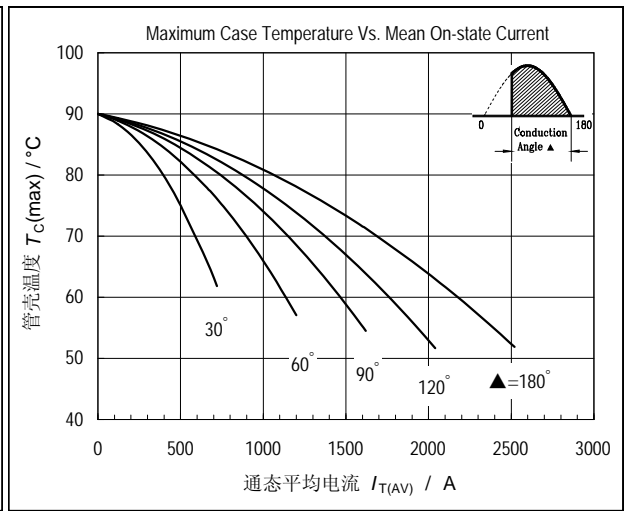


图4. 管壳温度与通态平均电流的关系曲线

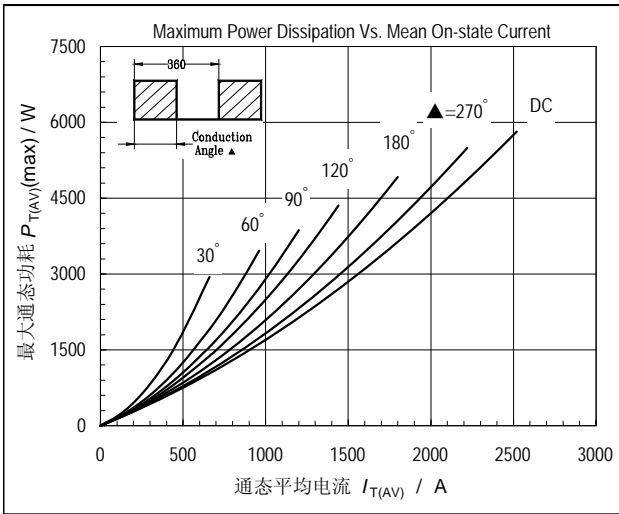


图5. 最大通态功耗与通态平均电流的关系曲线

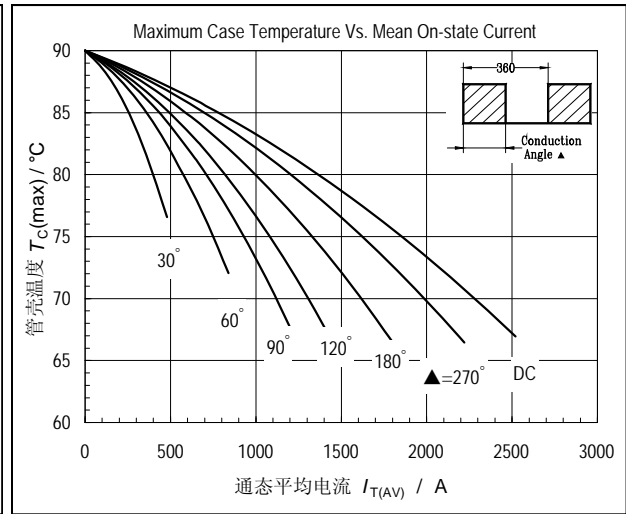


图6. 管壳温度与通态平均电流的关系曲线

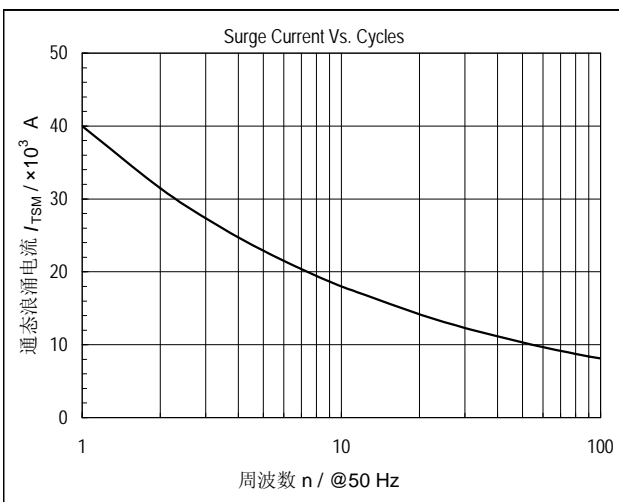


图7. 通态浪涌电流与周波数的关系曲线

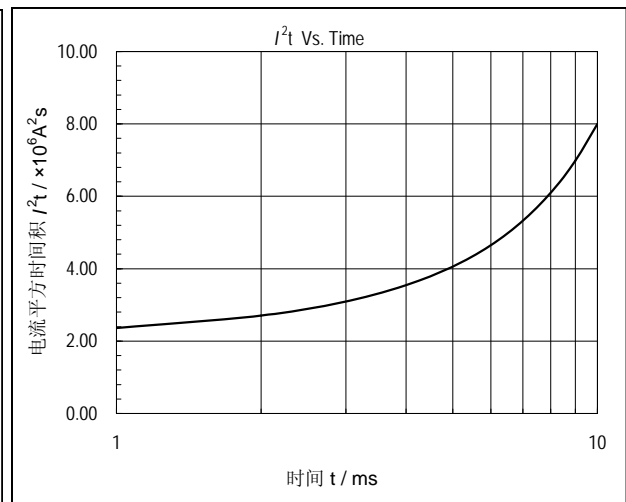


图8. I^2t 特性曲线

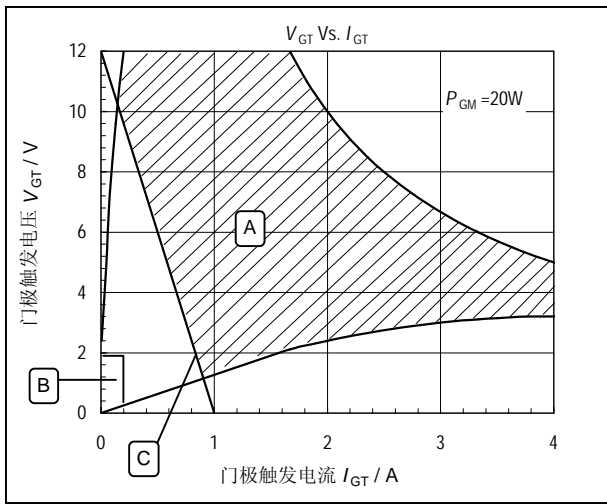


图9. 门极触发特性曲线

A为可靠触发区，

B为不可靠触发区。

C为建议采用的门极负载线。

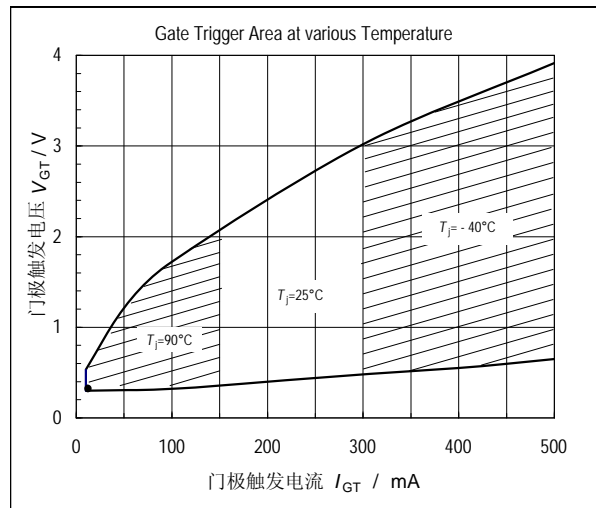


图10. 不同结温下的门极触发区

A is Recommended Triggering Area.

B is Unreliable Triggering Area.

C is Recommended Gate Load Line.